Zeitschrift: Schweizerische Bauzeitung

Herausgeber: Verlags-AG der akademischen technischen Vereine

Band: 70 (1952)

Heft: 45

Artikel: Die Berechnung der Spannungsverluste im vorgespannten Beton

Autor: Birkenmaier, M.

DOI: https://doi.org/10.5169/seals-59704

Nutzungsbedingungen

Die ETH-Bibliothek ist die Anbieterin der digitalisierten Zeitschriften auf E-Periodica. Sie besitzt keine Urheberrechte an den Zeitschriften und ist nicht verantwortlich für deren Inhalte. Die Rechte liegen in der Regel bei den Herausgebern beziehungsweise den externen Rechteinhabern. Das Veröffentlichen von Bildern in Print- und Online-Publikationen sowie auf Social Media-Kanälen oder Webseiten ist nur mit vorheriger Genehmigung der Rechteinhaber erlaubt. Mehr erfahren

Conditions d'utilisation

L'ETH Library est le fournisseur des revues numérisées. Elle ne détient aucun droit d'auteur sur les revues et n'est pas responsable de leur contenu. En règle générale, les droits sont détenus par les éditeurs ou les détenteurs de droits externes. La reproduction d'images dans des publications imprimées ou en ligne ainsi que sur des canaux de médias sociaux ou des sites web n'est autorisée qu'avec l'accord préalable des détenteurs des droits. En savoir plus

Terms of use

The ETH Library is the provider of the digitised journals. It does not own any copyrights to the journals and is not responsible for their content. The rights usually lie with the publishers or the external rights holders. Publishing images in print and online publications, as well as on social media channels or websites, is only permitted with the prior consent of the rights holders. Find out more

Download PDF: 30.11.2025

ETH-Bibliothek Zürich, E-Periodica, https://www.e-periodica.ch

70. Jahrgang

Nachdruck von Bild oder Text nur mit Zustimmung der Redaktion und nur mit genauer Quellenangabe gestattet Der S.I.A. ist für den Inhalt des redaktionellen Teils seiner Vereinsorgane nicht verantwortlich

Nummer 45

Die Berechnung der Spannungsverluste im vorgespannten Beton

Von Dipl. Ing. M. BIRKENMAIER, Zürich

1. Einleitung

In Tragwerken aus vorgespanntem Beton wird bekanntlich die anfänglich aufgebrachte Vorspannkraft im Lauf der Zeit kleiner, da der Beton sich infolge Schwinden und Kriechen verkürzt und da die hochgespannten Stahlarmierungen kriechen. Bei der Bemessung solcher Tragwerke ist es nun wichtig, dass man die Grösse der zu erwartenden Verluste an Vorspannkraft (Spannungsverluste) rechnerisch abschätzen kann, da diese Verluste u. U. beträchtliche Werte annehmen können. Die folgenden Ausführungen, die sich mit der Berechnung solcher Spannungsverluste befassen, beschränken sich auf Konstruktionen, in welche die Vorspannkräfte nach dem Erhärten des Betons aufgebracht werden (Vorspannarmierungen mit Endverankerungen mit nachträglichem Verbund) [6]*).

2. Grundlagen

Vorerst sollen einige kurze Angaben über das Kriechen und Schwinden des Betons sowie über das Kriechen der Stähle gemacht werden, soweit dies für die spätern Berechnungen notwendig ist. Für alle weitern Einzelheiten wird auf die Literatur verwiesen.

Kriechen des Betons

Wird ein Betonprisma einer langdauernden Druckspannung σ_b unterworfen, so entsteht mit der Zeit eine Zusammendrükkung Δlt , die ein Vielfaches der rein elastischen Verformung $\Delta l_{el} = \frac{1}{6}(\sigma_b/E_b)l$ betragen kann. Man nennt diese erst nach Jahren zum Stillstand kommende plastische Verformung das Kriechen des Betons. Meist wird die totale Verformung durch folgende Gleichung dargestellt (Bild 1 [1]):

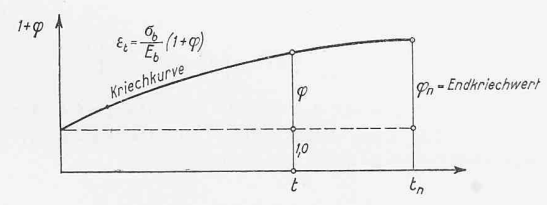


Bild 1. Kriechen des Betons

(1)
$$\varepsilon_t = \frac{\Delta t}{l} = \frac{\sigma_b}{E_b} (1 + \varphi)$$

 $\varepsilon_t = ext{totale spezifische Zusammendrückung zur Zeit } t$

 $\sigma_b =$ dauernd wirkende Druckspannung

 ${\it E}_b = {\it E}$ lastizitätsmodul des Betons, hier als Konstante angenommen

 $\varphi = \text{Kriechwert zur Zeit } t$

*) Die Zahlen in eckigen Klammern weisen auf das Literaturverzeichnis am Schlusse hin.

Tabelle 1. Kriechen des Betons

nach EMPA-Bericht Nr. 155, Abb. 86 und 87. Beton mit 350 bis 450 kg/m³ hochwertigem PZ, pervibriert, W/Z = 0,35 bis 0,40. Lagerung in 35 $^{0}/_{0}$ bzw. 70 $^{0}/_{0}$ relativer Luftfeuchtigkeit. ε_{K} = spezifisches Kriechmass pro 1 kg/cm² Belastung.

 $\varphi_n = \text{Endkriechwert} = \varepsilon_K E_b$. $E_b \cong 400\,000 \text{ kg/cm}^2$.

 $W_t =$ Würfeldruckfestigkeit zur Zeit t.

Alter des Betons beim Aufbringen der Dauerlast	Verhältnis $W\iota/W_{28}$	Spez. Kriechmass $arepsilon_K$	End- kriechwert $arphi_n$	
bei 35 % relativ	er Luftfeuchti	igkeit:		
7 Tage	0,80	0.80×10^{-5}	3,2	
14 Tage	0,91	0,70	2,8	
28 Tage	1,00	0,60	2,4	
90 Tage	1,28	0,47	1,9	
bei 70 % relativ	er Luftfeuchti	gkeit		
7 Tage	0,80	0.62×10^{-5}	2,5	
14 Tage	0,91	0,56	2,2	
28 Tage	1,00	0,50	2,0	
90 Tage	1,28	0,39	1,6	

DK 624.012.47

Nach längerer Zeit strebt φ einem Grenzwert φ_n zu. In Gleichung (1) kommt zum Ausdruck, dass die Verformung infolge Kriechen proportional der wirkenden Druckspannung ist, dass also für das Kriechen ebenfalls das Hooksche Gesetz gilt. Diese Annahme wurde durch Versuche von Glanville [1] und der EMPA [2] bestätigt.

Aus Gleichung (1) kann man die in der Zeiteinheit entstehende Kriechverformung durch Differentiation ermitteln.

(2)
$$\frac{d \,\varepsilon_t}{d \,t} = \frac{\sigma_b}{E_b} \,\frac{d \,\varphi}{d \,t}$$

Für die Berechnung der Spannungsverluste interessiert vor allem der Endkriechwert φ_n , der durch Versuche bestimmt werden muss. Auf Tabelle 1 sind einige Endkriechwerte angegeben, die dem EMPA-Bericht Nr. 155 «Vorgespannter Beton» entnommen sind. Man sieht aus diesen Zahlen, dass das Alter des Betons im Moment, wo die Dauerlast aufgebracht wird, und die Lagerbedingungen (35 % relative Feuchtigkeit, das heisst trockene Luft, zum Beispiel in geschlossenen Räumen und 70 % relative Feuchtigkeit, das heisst feuchte Luft, zum Beispiel über Wasser) grossen Einfluss auf den Endkriechwert haben.

Schwinden des Betons

Die Schwindverkürzung des Betons wächst ähnlich dem Kriechen von Null bis zu einem Endwert an. Man kann also den zeitlichen Verlauf der Schwindverkürzung angenähert wie folgt ansetzen:

$$(3) \qquad \varepsilon_{st} = \varepsilon_s \frac{\varphi}{\varphi_n}$$

 $arepsilon_{st} =$ Schwindverkürzung zur Zeit t

 ε_s = Endschwindmass

 $\varphi = \text{Kriechwert zur Zeit } t$

 $\varphi_n = \text{Endkriechwert}$

Aus Gleichung (3) erhält man die Schwindverkürzung pro Zeiteinheit.

(4)
$$\frac{d\,\varepsilon_{st}}{d\,t} = \frac{\varepsilon_s}{\varphi_n}\,\frac{d\varphi}{d\,t}$$

Auf Tabelle 2 sind verschiedene Schwindmasse gemäss EMPA-Bericht Nr. 155 angegeben. Für die Berechnung der Spannungsverluste interessiert vor allem das Schwindmass, das vom Moment der endgültigen Vorspannung bis zum Endwert entsteht, daher sind auf Tabelle 2 diese Differenzen auch angegeben.

Kriechen des Stahles

Im vorgespannten Beton werden die hochwertigen Stähle bis zu 60 bis 70 $^0/_0$ ihrer Zugfestigkeit vorgespannt, das heisst

Tabelle 2. Schwinden des Betons nach EMPA-Bericht Nr. 155, Abb. 87

Alter des Betons		Schwindmass z. Zeit t $arepsilon_{st}$	Differenz $\varepsilon_s = \varepsilon_{sn} - \varepsilon_{st}$		
bei 35 º	/ ₀ relativer	Luftfeuchtigkeit:	Upin Bry # 1		
7	Tage	0,18 %	0,32 %		
	Tage	0,20 %	0,30 %		
28	Tage	0,24 %	0,26 %		
90	Tage	0,32 %	0,18 %		
n	Tage	0,50 %	0		
(E	ndwert)				
bei 70 %	o relativer	Luftfeuchtigkeit:			
7	Tage	0,14 %	0,26 %		
14	Tage	0,16 %	0,24 %		
28	Tage	0,20 %	0,20 %		
90	Tage	0,26 %	0,14 %		
n	Tage	0,40 %	0		
(E	ndwert)				

gedehnt und dann in ihrer Länge gehalten (Endanker auf erhärtetem Beton). Durch plastische Verformung (Kriechen des Stahles) verlieren nun die Stähle einen Teil ihrer ursprünglichen Spannung. Die Grösse dieser Verluste hängt stark von der Höhe der Vorspannung ab. Dazu ist die Herstellungsart der Drähte (legiert, vergütet oder gezogen und patentiert) von grossem Einfluss auf ihr Kriechverhalten. Man ist daher für die Beurteilung der Kriechverluste auf Versuche des Lieferwerkes angewiesen.

Auf Tabelle 3 sind einige Versuchswerte über Kriechen von verschiedenen Stählen angegeben, wobei Vorspannungen zwischen 60 und 80 % der Zugfestigkeit vorkommen. Die Zahlen zeigen, dass gezogene, patentierte Drähte höhere Kriechverluste haben als vergütete oder legierte Stähle. Die Kriechverluste können im allgemeinen stark verringert werden, wenn man die Drähte über die spätere Vorspannung hinaus vorreckt und dann auf das gewünschte Mass wieder entspannt. Das Kriechen der Drähte klingt schon nach wenigen Tagen praktisch vollständig ab, erstreckt sich also nicht wie das Schwinden und Kriechen des Betons auf Jahre. Man kann daher angenähert das Kriechen des Stahles von der mechanisch erzeugten Vorspannkraft in Abzug bringen und dann mit der reduzierten Kraft den Einfluss des Kriechens und Schwindens des Betons weiter verfolgen.

3. Spannungsverluste in einer zentrisch vorgespannten Säule

Wir betrachten gemäss Bild 2 eine zentrisch vorgespannte Säule, die durch eine äussere Normalkraft P (Dauerlast) beansprucht sei. Die anfänglich (Zeit t=0) aufgebrachte Vorspannkraft sei mit V bezeichnet. Durch Schwinden und Kriechen des Betons wird die Vorspannkraft V um die noch unbekannte Kraft X auf (V-X) abgebaut. Die Kraft X lässt sich aus der Bedingung bestimmen, dass pro Zeiteinheit die Verkürzung des Stahles gleich derjenigen des Betons sein muss. Dabei ist zu beachten, dass sich in der Zeiteinheit die Vorspannkraft um dX/dt verringert.

$$\frac{1}{E_eF_e}\frac{dX}{dt} = \frac{\varepsilon_s}{\varphi_n}\frac{d\varphi}{dt} + \frac{(V+P-X)}{E_bF_b}\frac{d\varphi}{dt} - \frac{1}{E_bF_b}\frac{dX}{dt}$$

Auf der linken Seite steht die Verkürzung des Stahles infolge Abnahme der Vorspannkraft um dX/dt; auf der rechten Seite zuerst die Schwindverkürzung (Gleichung 4), dann die Kriechverkürzung (Gleichung 2) infolge der im betrachteten Zeitpunkt vorhandenen Dauerlast (V+P-X) und zuletzt die elastische Rückfederung des Betons durch die Kraftabnahme -dX/dt. Es wurde im übrigen angenommen, dass die Kraft dX/dt als nur vorübergehend wirkende Kraft keinen Kriechbeitrag liefert.

Durch Multiplikation mit $E_{\,b}\,F_{\,b}\,$ und Zusammenziehen der entsprechenden Glieder wird:

$$\left(\frac{E_b\,F_b}{E_e\,F_e}+1\right)\frac{d\,X}{d\,t} = \left(V\,+\,P\,+\,\frac{\varepsilon_s}{\varphi_n}\,E_b\,F_b-X\right)\frac{d\,\varphi}{d\,t}$$

mit den Abkürzungen

$$\begin{split} n &= \frac{E_e}{E_b} \quad \mu = \frac{F_e}{F_b} \\ \frac{1}{\varkappa} &= \frac{E_b F_b}{E_e F_e} + 1 = \frac{E_b F_b + E_e F_e}{E_e F_e} = \frac{1 + n \mu}{n \mu} \end{split}$$

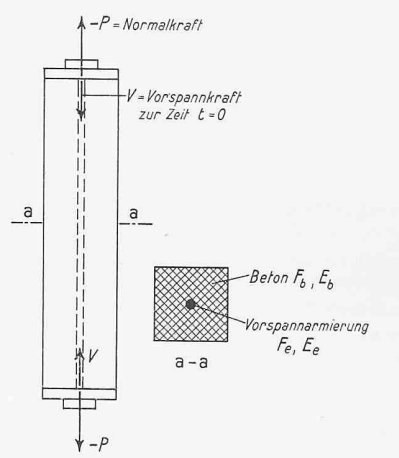


Bild 2. Zentrisch vorgespannte Säule

$$z = rac{n \mu}{1 + n \mu}$$

 $V + P + rac{arepsilon_s}{2} E_b F$

 $K = V + P + \frac{\varepsilon_s}{q_n} E_b F_b$

$$\frac{1}{\varkappa} \frac{dX}{dt} = (K - X) \frac{d\varphi}{dt}$$

$$\frac{1}{K - X} \cdot \frac{dX}{dt} = \varkappa \cdot \frac{d\varphi}{dt}$$

Die Integration dieser Differentialgleichung

$$ln(K-X) = -\alpha \varphi + c$$

Die Konstante c bestimmten wir aus den Anfangsbedingungen

$$t=0$$
 , $\varphi=0$, $X=0$, $zu \ c=\ln K$

Damit

$$ln(K = X) = - \varkappa \varphi + ln K$$

oder

$$ln\frac{K-X}{K}=-\varkappa \varphi$$

oder mit Einführung der Exponentialfunktion statt dem natürlichen Logarithmus.

$$K - X = Ke^{-\kappa \varphi}$$

$$X = K \left[1 - e^{-\kappa \varphi} \right]$$

oder wenn für K der entsprechende Ausdruck eingesetzt wird.

(5)
$$X = \left[V + P + \frac{\varepsilon_s}{\varphi_n} E_b F_b \right] \left[1 - e^{-\kappa \varphi} \right]$$

Führt man noch statt der Kräfte die entsprechenden Spannungen ein, unter Beachtung, dass Druckspannungen positiv und Zugspannungen negativ sind, so wird:

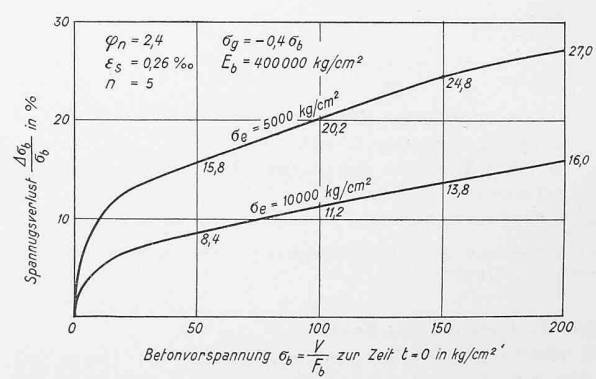


Bild 3. Beispiel für Spannungsverluste in zentrisch vorgespannter Säule

Tabelle 3. Kriechen des Drahtes

 $g_z=$ Zugfestigkeit, $\lambda=$ Bruchdehnung, $\Delta\,\sigma_v=$ Spannungsverlust infolge Kriechen des Stahles, I bzw. II = Kriechversuch mit konstanter Länge bzw. konstanter Last, $\sigma_s=$ Streckgrenze 2 $\%_0$, $\sigma_v=$ Vorspannung im Draht. Die Werte in Klammern beziehen sich auf einen Draht, der zuerst auf 95 kg/mm² vorgereckt wurde.

Bezeichnung	Herstellungsart	$\phi_{ m mm}$	β_z kg/mm ²	σ_s kg/mm 2	λ %	σ_v kg/mm 2	$\Delta \sigma_v$ kg/mm ²	$\int d\sigma_v/\sigma_v$	Versuchsart	Literatur
Sandvik	gezogen, pat.	3,2	190	168	7,0	120	4,5	3,8	II	[2]
Voco	gezogen, pat.	4,0	181	158	6,6	126	7,8	4,1	I	
Frankreich	gezogen, pat.	5,0	163	130	9,5	108	4,0	3.7	I	[4]
Frankreich	gezogen, pat.	5,0	154	125	6,6	110	6,0	5,5	I	[4]
Belgien 5-I	gezogen, pat.	5,0	150	115	8,0	85	10,0 (3,0)	11,8 (3,5)	I	[3]
Sigma 145/165	vergütet	5,0	165	145	6,0	110	1.0	0,9	II	[5]
Sigma 55/85	legiert	18,3	85	55	10,0	50	0,7	1.4	II	[5]
Sigma 60/90	legiert	18,3	90	60	8,0	50	0,6	1,2	II	[5]

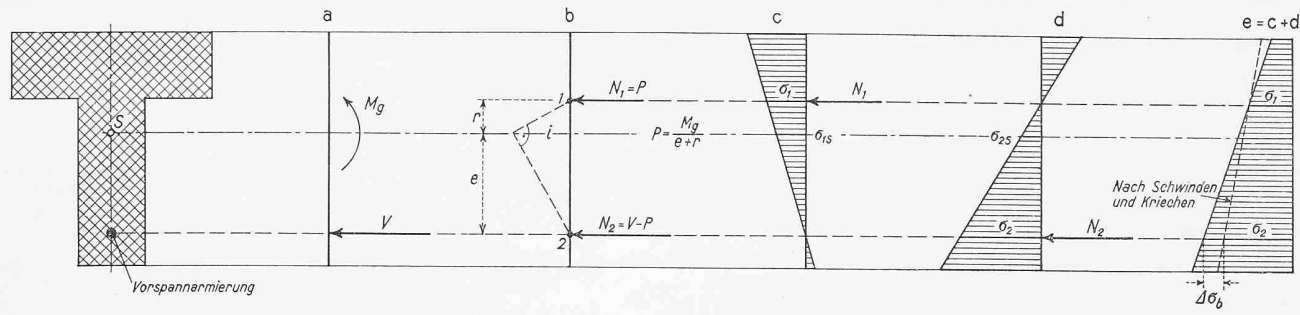


Bild 4. Spannungsverluste in vorgespanntem Balken

$$i^2 = J_b | F_b$$
 $J_b = ext{Trägheitsmoment}$ $F_b = ext{Fläche}$

$$\sigma_{1} = \sigma_{1}s \frac{e+r}{e}$$
 $\sigma_{2} = \sigma_{2}s \frac{e+r}{r}$
 $\sigma_{1}s = \frac{N_{1}}{F_{b}}$ $\sigma_{2}s = \frac{N_{2}}{F_{b}}$
 $\sigma_{1} = \frac{N_{1}}{F_{1}} = \frac{P}{F_{1}}$ $\sigma_{2} = \frac{N_{2}}{F_{2}} = \frac{V}{F_{2}} - \frac{P}{F_{2}}$
 $F_{1} = F_{b} \frac{e}{e+r}$ $F_{2} = F_{b} \frac{r}{e+r}$

$$\sigma_b = + rac{V}{F_b}$$
 = Druckvorspannung im Beton zur Zeit $t=0$
 $\mathcal{L}_{\sigma_b} = -rac{X}{F_b}$ = Spannungsverlust im Beton
 $\sigma_{\mathbf{g}} = +rac{P}{F_b}$ = Spannung infolge Normalkraft P

$$\sigma_e = -\frac{V}{F_e}$$
 = Zugspannung im Stahl zur Zeit $t=0$

$$arDelta\sigma_e = +rac{X}{F_e} = ext{Spannungsverlust im Stahl}$$
 $\mu = rac{F_e}{F_b} = rac{-V/\sigma_e}{V/\sigma_b} = -rac{\sigma_b}{\sigma_e}$
 $z = rac{n\,\mu}{1+n\,\mu} = rac{n\,\sigma_b}{n\,\sigma_b-\sigma_e}$

somit, wenn Gleichung (5) durch F_b dividiert wird:

(6a)
$$\frac{\Delta \sigma_b}{\sigma_b} = -\left[1 + \frac{\sigma_g}{\sigma_b} + \frac{\varepsilon_s E_b}{\varphi_n \sigma_b}\right] \left[1 - e^{-\kappa \varphi}\right]$$

Analog erhält man den Spannungsverlust im Stahl, da

$$(7) \qquad \frac{\Delta \sigma_e}{\sigma_e} = -\frac{\Delta \sigma_b}{\sigma_b}$$

Damit haben wir die für die Berechnung der Spannungsverluste notwendigen Gleichungen gewonnen. Solche Gleichungen wurden zuerst von Dischinger [1] für ähnliche Kriechaufgaben abgeleitet. Man sieht, dass die Spannungsverluste infolge Kriechen und Schwinden nur von den entsprechenden Endwerten und nicht vom Verlauf der Kriechkurve abhängen. Zah-

lenwerte der Funktion $\left[1-e^{-\varkappa\varphi}\right]$ sind auf Tabelle 4 angegeben.

Zahlenbeispiel:

Alter des Betons beim Vorspannen 28 Tage; relative Luftfeuchtigkeit 35 %,0; $\varepsilon_s=0.26$ %,0, $\varphi=\varphi_n=2.4$, $E_b=400$ 600 kg pro cm², n=5. $\sigma_b=200$ kg/cm², $\sigma_g=-80$ kg/cm² = 0,4 σ_b . $\sigma_e=-5000$ bzw. — 10 000 kg/cm² (nach Abzug des Kriechens der Drähte). Man erhält aus Gleichung (6a) bei $\sigma_e=-5000$ kg pro cm² $\frac{\varDelta\sigma_b}{\sigma_b}=0.270$, das heisst 27 % Verlust; bei $\sigma_e=-10\,000$ kg/cm² wird $\frac{\varDelta\sigma_b}{\sigma_b}=-0.160$, d. h. 16 % Verlust.

Tabelle 4. Funktionswerte $\begin{bmatrix} 1 - e^{-\kappa \varphi} \end{bmatrix} = \mathfrak{F}$ $\frac{\kappa \varphi}{\kappa} \quad \mathfrak{F} \quad \kappa \varphi \quad \mathfrak{F} \quad \kappa \varphi \quad \mathfrak{F}$ $0.10 \quad 0.095 \quad 0.20 \quad 0.181$

Berechnet man die Spannungsverluste unter der vereinfachenden Annahme, dass die Spannung $(\sigma_b+\sigma_g)$ während des ganzen Kriechvorganges konstant bleibe, so erhält man für obiges Beispiel Verluste von 39 % bei $\sigma_e=-5000~{\rm kg/cm^2}$ und 20~0% bei $\sigma_e=-10~000~{\rm kg/cm^2}$. Man sieht also, dass diese häufig gebrauchte Näherung beträchtlich grössere Werte liefert als die genaue Rechnung. Auf Bild 3 sind noch die Spannungsverluste für verschiedene Werte von σ_b für obiges Beispiel aufgetragen. Die Kurven zeigen deutlich, dass die relativen Verluste um so geringer sind, je höher die Stahlvorspannung gewählt wird.

4. Spannungsverluste in einem vorgespannten Balken

Gemäss Bild 4a wirke in einem beliebigen Schnitt eines Balkens zur Zeit t=0 eine exzentrische Vorspannkraft V (Abstand e von s) sowie ein Moment M_g aus Dauerlast. Wir wollen nun die Berechnung der Spannungsverluste im Balken auf den einfachsten Fall der zentrisch vorgespannten Säule zurückführen [7].

Wir konstruieren (Bild 4b) zum Angriffspunkt 2 der Vorspannkraft V den entsprechenden Punkt 1, dessen Abstand vom Schwerpunkt s sich aus der Beziehung $r=i^2|e$ (i= Trägheitsradius) berechnet. Dieser Punkt 1 ist bekanntlich der Spannungsnullpunkt für eine in 2 angreifende Normalkraft. Umgekehrt gibt eine in 1 angreifende Normalkraft in 2 die Spannung Null. Wir zerlegen nun das Moment M_g in ein Kräftepaar $P=\pm \frac{M_g}{e+r}$, welches in den Punkten 1 und 2 angreift.

Statt V und M_g kann man also zwei Normalkräfte $N_1 = \frac{M_g}{e+r}$

sowie auch $N_2 \equiv V - \frac{M_{\rm g}}{e + r}$ auf den Querschnitt wirkend annehmen. Wir berechnen für die beiden Normalkräfte N_1 und N_2 getrennt die zugehörigen Normalspannungen σ_1 und σ_2 in den Punkten 1 und 2 und können dann die resultierenden Spannungen durch geradliniges Verbinden von σ_1 und σ_2 gewinnen (Bilder 4c bis 4e). Man erhält dabei die Spannungen $\sigma_1 = N_1/F_1$ [$F_1 \!=\! F_b e/(e+r)$] und $\sigma_2 \!=\! N_2/\!F_2$ [$F_2 \!=\! F_b r/(e+r)$] wie bei einer zentrisch belasteten Säule, indem man die Querschnittsfläche F_b in die beiden Teilflächen F_1 und F_2 zerlegt. Die Spannungen σ_1 und σ_2 haben die Eigenschaft, dass sie sich gegenseitig nicht beeinflussen, da sie ja in den entsprechenden Nullpunkten 1 und 2 liegen. Diese Eigenschaft bleibt auch erhalten, wenn infolge Kriechen und Schwinden die Normalkraft $N_2 = V + P$ sich um X verkleinert. Schreiben wir nämlich wieder die Kriechgleichung auf, indem wir die Gleichheit der Verformung von Stahl und Beton pro Zeiteinheit in der Höhe der Armierung formulieren, so wird:

$$egin{aligned} rac{1}{E_eF_e}rac{dX}{dt} &= rac{arepsilon_s}{arphi_n}rac{d\,arphi}{d\,t} + rac{V-X}{E_bF_b}\Big(1 + rac{F_b}{J_b}\,e^2\Big)rac{d\,arphi}{d\,t} &- \ -rac{M_g}{E_bJ_b}\,e\,rac{d\,arphi}{d\,t} &- rac{1}{E_bF_b}\left(1 + rac{F_b}{J_b}\,e^2
ight)rac{d\,X}{d\,t} \end{aligned}$$

oder wenn
$$rac{J_b}{F_b} = i^{\scriptscriptstyle 2}$$
 , $rac{i^{\scriptscriptstyle 2}}{e} = r$

 ${\mathfrak F}$

κφ

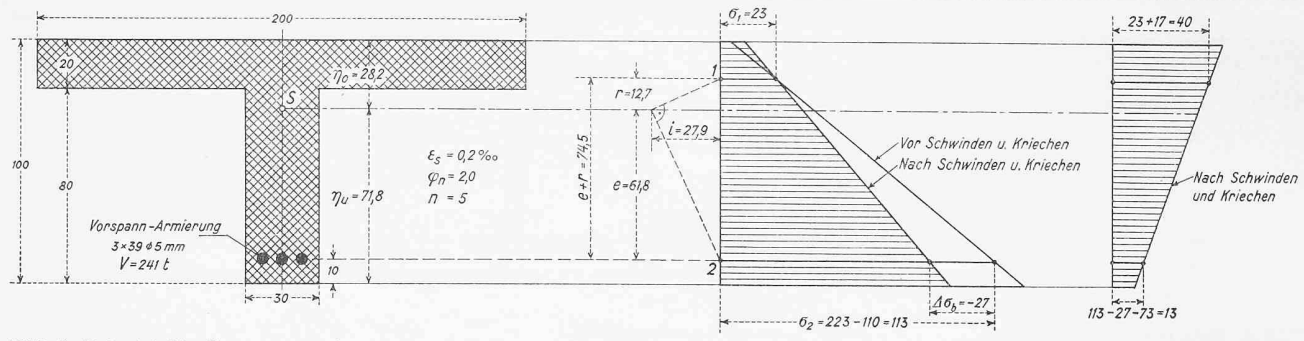


Bild 5. Beispiel für Spannungsverluste in vorgespanntem Balken

$$\begin{split} F_b &= 6340 \, \mathrm{cm}^2 \quad J_b = 4\,967\,000 \, \mathrm{cm}^4 \\ &\quad \text{(nach Abzug der Löcher für Vorsp.-Arm. 3 \oslash 5 cm)} \\ i^2 &= 783 \, \mathrm{cm}^3 \qquad i = 27,9 \, \mathrm{cm} \\ r &= i^2 | e = 783 | 61,8 = 12,7 \, \mathrm{cm} \\ F_1 &= F_b \, \frac{e}{e+r} = 6340 \cdot \frac{61.8}{74,5} = 5259 \, \mathrm{cm}^2 \\ F_2 &= F_b \, \frac{r}{e+r} = 6340 \cdot \frac{12,7}{74,5} = 1081 \, \mathrm{cm}^2 \end{split}$$

$$\begin{split} \underline{M_g} &= 89 \, \mathrm{mt} \\ P &= \pm \frac{M_g}{e+r} = \pm \frac{89}{0.745} = \pm 119.2 \, \mathrm{t} \\ \sigma_1 &= \frac{P}{F_1} = \frac{119200}{5259} = 23 \, \mathrm{kg/cm^2} \\ \sigma_2 &= \frac{V}{F_2} + \frac{P}{F_2} = \frac{241000}{1081} - \frac{119200}{1081} = \\ &= 223 - 110 = 113 \, \mathrm{kg/cm^2} \end{split}$$

$$M_P = 65 \text{ mt}$$
 $P' = \frac{65}{0,745} = \pm 87.3 \text{ t}$
 $\sigma_1' = \frac{87300}{5259} = 17 \text{ kg/cm}^2$
 $\sigma_2' = -\frac{87300}{1081 + 5 \cdot 22} = -73 \text{ kg/cm}^2$

$$\begin{split} &\frac{1}{E_e F_e} \frac{dX}{dt} = \frac{\varepsilon_s}{\varphi_n} \frac{d\varphi}{dt} + \\ &+ \frac{1}{E_b F_b} \left\{ (V - X) \left(1 + \frac{e}{r} \right) - \frac{M_g}{r} \right\} \frac{d\varphi}{dt} - \\ &- \frac{1}{E_b F_b} \left(1 + \frac{e}{r} \right) \frac{dX}{dt} \end{split}$$

oder

$$\begin{split} &\frac{1}{E_eF_e}\frac{dX}{dt} = \frac{\varepsilon_s}{\varphi_n}\frac{d\varphi}{dt} + \\ &+ \frac{1}{E_bF_b}\left\{ (V-X)\frac{e+r}{r} - \frac{M_g}{r} \right\}\frac{d\varphi}{dt} - \\ &- \frac{1}{E_bF_b}\frac{e+r}{r}\frac{dX}{dt} \end{split}$$

setzt man

$$F_2 = F_b rac{r}{e+r}$$
 $P = -rac{M_g}{e+r}$ oder $-rac{M_g}{r} = Prac{e+r}{r}$

so wird:

$$\begin{split} &\frac{1}{E_eF_e}\frac{dX}{dt} = \frac{\varepsilon_s}{\varphi_n}\frac{d\varphi}{dt} + \\ &+ \frac{1}{E_bF_g}\left[(V-X) + P \right]\frac{d\varphi}{dt} - \frac{1}{E_bF_g}\frac{dX}{dt} \end{split}$$

Diese Gleichung stimmt mit der entsprechenden Kriechgleichung der zentrisch vorgespannten Säule vollständig überein, wenn man dort statt F_b die Teilfläche F_2 einsetzt. D. h. wir können mit Gl.(6) $\varDelta_{\sigma\,b}$ berechnen, indem man dort für $\sigma_{\,b} = V/F_{\,2}$ und $\sigma_{\it g} = \frac{P}{F_{\it 2}} \, \left(P = \frac{-M_{\it g}}{e+r} \right) \,$ einsetzt. Die anfängliche Spannung σ_2 im Punkt 2 reduziert sich also um $\varDelta \sigma_b$, und durch geradliniges Verbinden mit σ_1 erhält man das endgültige Spannungsdiagramm (Bild 4e). Damit ist die Aufgabe der Berechnung der Spannungsverluste in einem Balken auf den einfachen Fall einer zentrisch vorgespannten Säule zurückgeführt.

Zahlenbeispiel

Der auf Bild 5 dargestellte Unterzug habe ein Moment aus Dauerlast $M_g = 89$ mt und aus kurzfristig wirkender Nutzlast $M_p=65^{\circ}$ mt aufzunehmen. Er sei mit drei Vorspannkabeln zu 39 ϕ 5 mm gezogenen, patentierten Stahldrähten (Festigkeit 16 500 kg/cm²) vorgespannt. Gesucht sind die Spannungsverluste infolge Vorspannkraft V und Dauermoment M_g . Alle Abmessungen sowie die Querschnittswerte sind auf Bild 5 angegeben. Mechanisch erzeugte Vorspannung in den Stahldrähten = - 11 000 kg/cm²; Verlust infolge Kriechen der Drähte rund 4% oder 500 kg/cm²; Vorspannung $\sigma_e = 10500$ kg pro cm². Alter des Betons beim Vorspannen 28 Tage; rel. Luftfeuchtigkeit 70 %; ε_s = 0,2 %; φ = φ_n = 2,0; E_b = 400 000 kg/cm²; n=5. Wir zerlegen ${\it M_g}$ in die beiden Einzelkräfte ${\it P}$ und berechnen σ_1 und σ_2 (siehe Bild 5). Mit Hilfe der Gleichung (6) berechnen wir den Spannungsverlust Δ_{σ_b} im Punkt 2:

Mit
$$\sigma_b = 223 \text{ kg/cm}^2$$
 $\sigma_g = -110 \text{ kg/cm}^2$
 $\varkappa \varphi = \frac{n \sigma_b}{n \sigma_b - \sigma_e} \varphi = \frac{5 \cdot 223}{5 \cdot 223 + 10500} \cdot 2,0 = 0,192$

Der Tabelle 4 entnimmt man:

$$\begin{bmatrix} 1 - e^{- \times \varphi} \end{bmatrix} = 0,174$$

$$\frac{\varepsilon_s}{\varphi_n} E_b = \frac{0,2}{1000} \frac{400000}{2,0} = 40 \text{ kg/cm}^2$$

$$\Delta \sigma_b = -[223 - 110 + 40] \cdot 0.174 = -27 \text{ kg/cm}^2$$

oder auch

$$\frac{\varDelta\,\sigma_b}{\sigma_b} = -\,\frac{\varDelta\,\sigma_e}{\sigma_e} = -\,\frac{27}{223} = -\,0.121 = 12.1^{\,0}|_0$$
 Die Stahlspannung nach Abschluss von Schwinden und

Kriechen beträgt also:

$$\sigma_e - \Delta \sigma_e = 0.879 \, \sigma_e = 9230 \, \text{kg/cm}^2$$

In Bild 5 sind die endgültigen Spannungen nach Abschluss von Schwinden und Kriechen aufgezeichnet. Daneben sind noch die Spannungen aus M_p denjenigen von M_q und (V-X) überlagert. Da die Nutzlast normalerweise erst nach Erstellen des Verbundes (Injektion der Kabelhüllen) wirkt, müssen die Spannungen infolge M_p wie bei einem Verbundbalken berechnet werden. Man kann nun unter Umgehung der Berechnung des ideellen Schwerpunktes diese Spannungen sehr einfach bestimmen [7], wenn man das Moment M_p wieder in ein Kräfte-

paar $P'=\pm rac{M_p}{e+r}$ zerlegt und die Spannungen in den Punkten 1 und 2 berechnet. Man erhält

$$\sigma_1=rac{P'}{F_1} \quad \left(F_1=Frac{e}{e+r}
ight) \ \sigma_2=rac{P'}{F_2} \quad \left(F_2=Frac{r}{e+r}+nfe
ight)$$

das heisst man muss in der Teilfläche F_2 noch die n-fache Armierung berücksichtigen. Im übrigen zeigt das Beispiel, dass bei Unterzügen mit stark überdrückter Zugzone die Spannungsverluste beträchtliche Werte annehmen können.

- [1] Dischinger: Elastische und plastische Verformung der Eisenbetontragwerke, «Bauing.» 1939, H. 5/6, 21/22, 31/32, 47/48.
- EMPA-Bericht Nr. 155, Vorgespannter Beton, von $M.\,R.\,Ros$
- Magnel: Le Béton précontraint, Gand 1948.
- Guyon: Béton précontraint, Paris 1951.
- Jäniche: Neue Erkenntnisse über Festigkeitseigenschaften und Beanspruchbarkeit von Spannbetonstählen, «Beton- und Stahlbetonbau» 1951, H. 7, 8.
- Birkenmaier, Brandestini, Ros: Zur Entwicklung des vorgespannten Betons in der Schweiz, «Schweiz. Bauzeitung» 1952, Nr. 8.
- Busemann: Kriechberechnung von Verbundträgern unter Benützung von zwei Kriechfasern, «Bauing.» 1950, H. 11.
- M. Ritter und P. Lardy: Vorgespannter Beton, Zürich 1946.